

ДОПОЛНИТЕЛЬНАЯ ИНФОРМАЦИЯ

Р.В. Борисов, О. В. Белоусов, М.Н. Лихацкий, А.М. Жижаяев Взаимодействие высокодисперсных металлических порошков никеля с водными растворами Pd(II) в гидротермальных условиях // Журнал неорганической химии.

R.V. Borisov, O. V. Belousov, M.N. Likhatsky, A.M. Zhizhaev Interaction of highly dispersed nickel metal powders with Pd(II) aqueous solutions under hydrothermal conditions // Journal of Inorganic Chemistry.

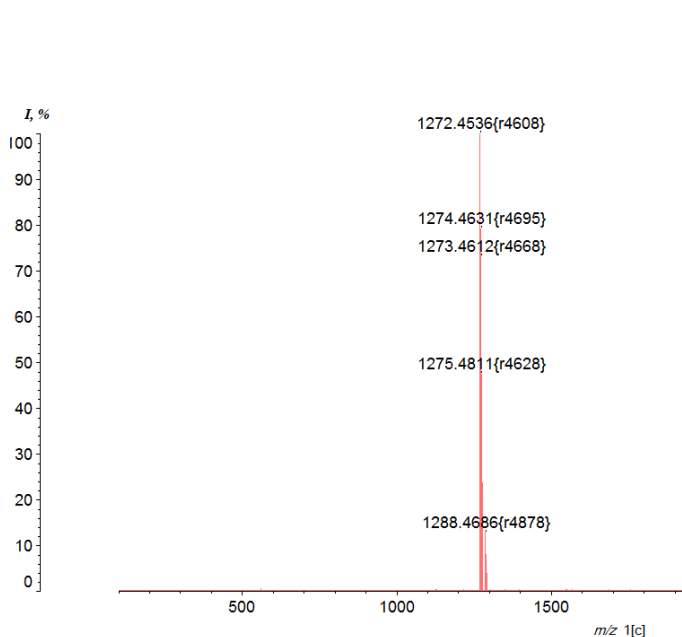


Рис. S1 а. Масс-спектр Cu(II)-окта-(2,6-дифторфенил)тетраазпорфирина

Fig. S1 a. Mass spectrum of Cu(II)-octa-(2,6-difluorophenyl)tetraazaporphyrin

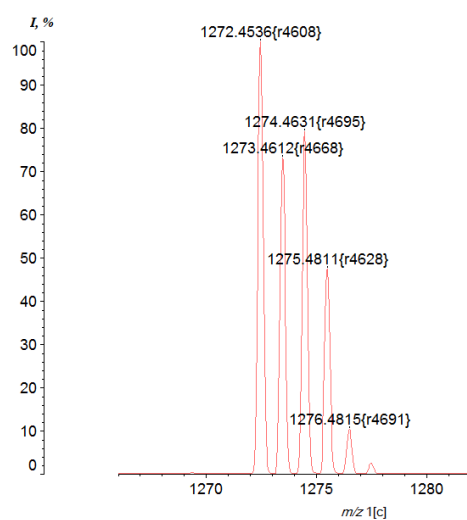


Рис. S1 б. Масс-спектр пика молекулярного иона Cu(II)-окта-(2,6-дифторфенил)тетраазпорфирина

Fig. S1 b. Mass spectrum of the peak of the molecular ion Cu(II)-octa-(2,6-difluorophenyl)tetraazaporphyrin

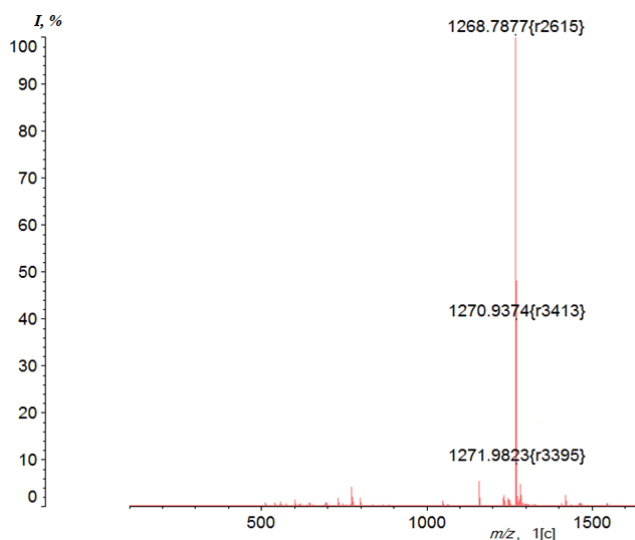


Рис. S2 а. Масс-спектр Ni(II)-окта-(2,6-дифторфенил)тетразапорфирина.

Fig. S2 а. The mass spectrum of Ni(II)-octa-(2,6-difluorophenyl)tetraazaporphyrin.

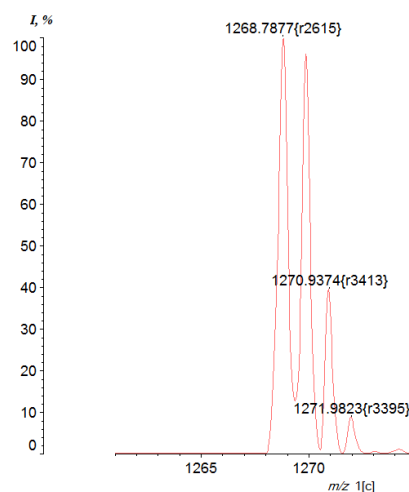


Рис. S2 б. Масс-спектр пика молекулярного иона Ni(II)-окта-(2,6-дифторфенил)тетразапорфирина.

Fig. S2 б. Mass spectrum of the peak of the molecular ion Ni(II)-octa-(2,6-difluorophenyl)tetraazaporphyrin.

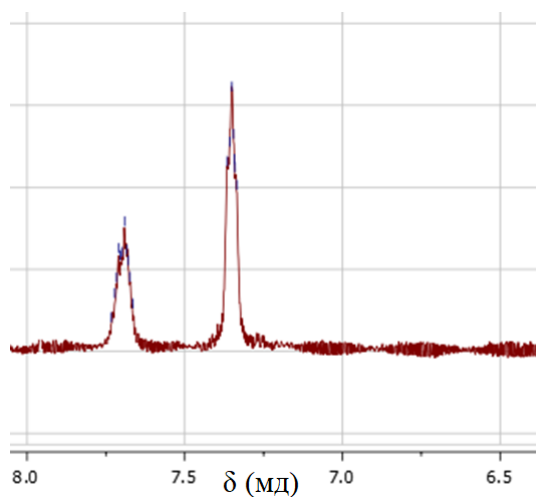


Рис. S3. Фрагмент спектра ЯМР ^1H Ni(II)-окта-(2,6-дифторфенил)тетразапорфирина в DMSO d_6 .

Fig. S3. Fragment of the ^1H NMR spectrum of Ni(II)-octa-(2,6-difluorophenyl)tetraazaporphyrin in DMSO d_6 .

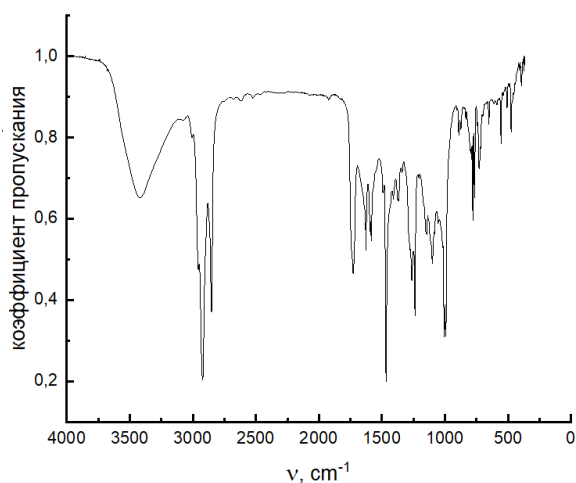


Рис. S4 а. ИК спектр комплекса Cu(II) **3** в таблетках KBr.

Fig. S4 a. IR spectrum of Cu(II) **3** complex in KBr tablets.

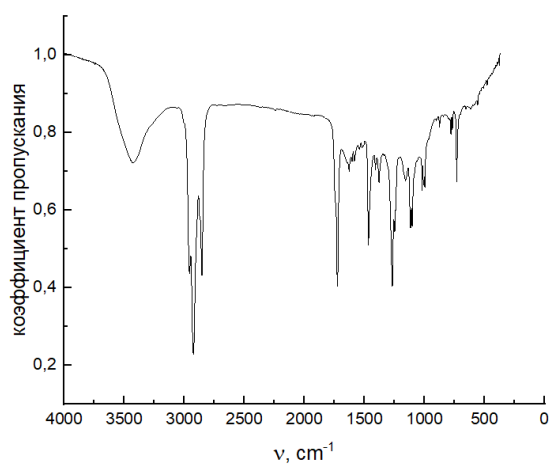


Рис. S4 б. ИК спектр комплекса Ni(II) **4** в таблетках KBr.

Fig. S4 b. IR spectrum of the Ni(II) **4** complex in KBr tablets.

Окта-(2,6-дифторфенил)тетраазапорфирин (1) Ni(II)-окта-(2,6-дифторфенил)тетраазапорфирин (4) Cu(II)-окта-(2,6-дифторфенил)тетраазапорфирин (3)

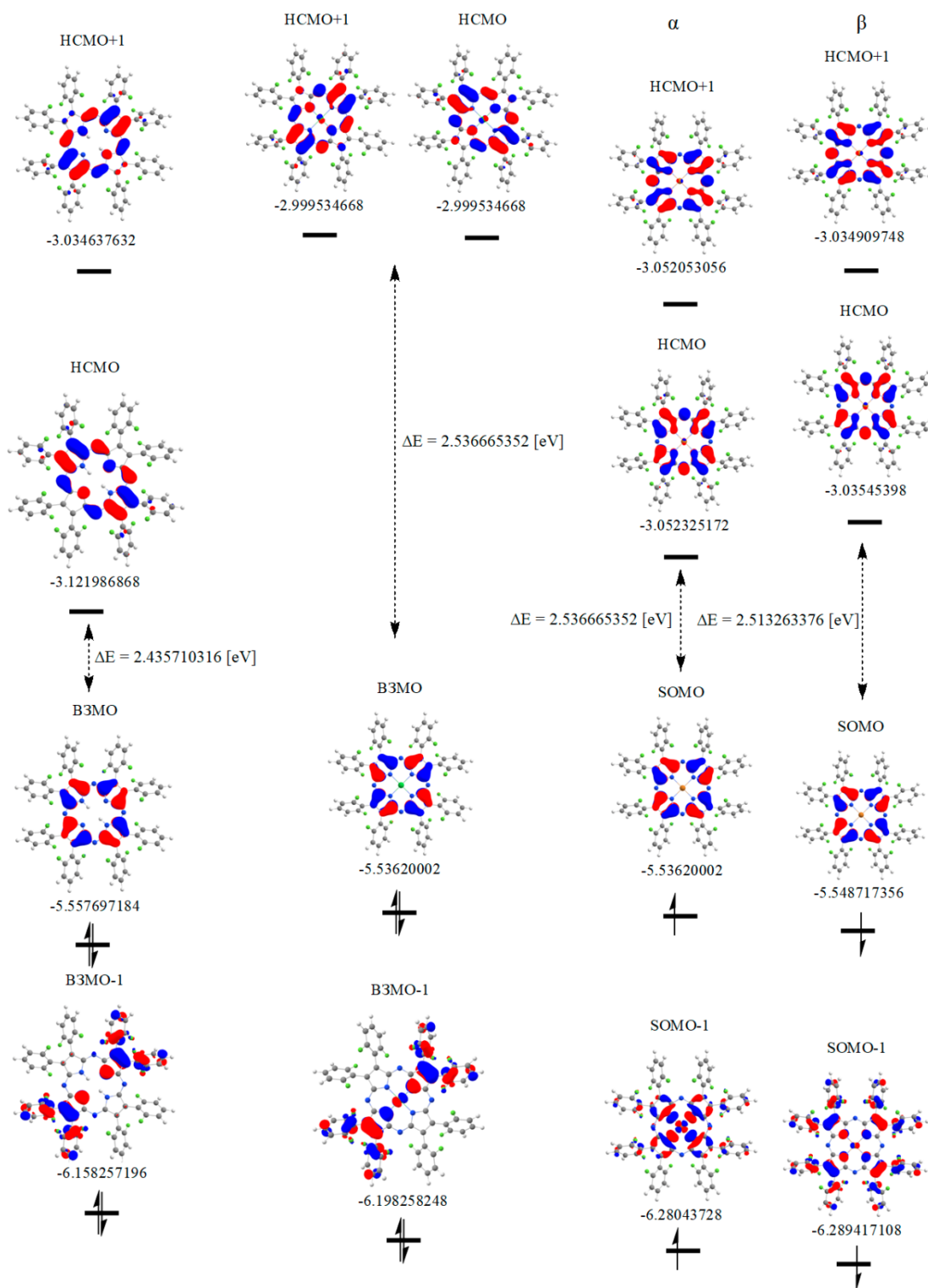


Рис. S5. Энергия молекулярных орбиталей (eV) рассчитанная методом DFT с набором B3LYP / 6-31G++

Fig. S5. The energy of molecular orbitals (eV) calculated by the DFT method with a set of B3LYP / 6-31G++